

Analiza performansi i primjene čipa 222 i njegovih modifikacija 222-M

Studentski rad

Svetlana Parlić

Student prvog ciklusa studija

Univerzitet u Istočnom Sarajevu, Elektrotehnički fakultet

Istočno Sarajevo, Bosna i Hercegovina

svetlana.parlic.2226@student.etf.ues.rs.ba

Sažetak—Tajmer 555 je poslužio kao inspiracija za čip 222, koji nudi određene prednosti u specifičnim primjenama, kao što je istovremeno generisanje impulsa konstantne frekvencije i širinsko-impulsne modulacije (Pulse Width Modulation – PWM). Detaljna analiza funkcionisanja čipa 222 pokazala je određene ozbiljne mane koje ga mogu diskvalifikovati u većini praktičnih primjena. Predložene su konkretnе modifikacije (222-M) koje otklanaju uočene nedostatke, što je dokazano prikazanim rezultatima simulacija u programskom paketu LTSpice.

Ključne riječi- čip 222; tajmeri; PWM; Pulse Width Modulation

I. UVOD

Integrисана kola (*Integrated circuit - IC*) tajmeri su elektronska kola namijenjena za generisanje preciznih vremenskih intervala čije trajanje ili period ponavljanja su određeni vanjskim komponentama, sa otpornicima R i kondenzatorima C. Mogućnost rada na širokom dijapazonu napona napajanja ih čini odgovarajućim za mnoge oblasti primjene [1]. Moderni integrisani tajmeri su se razvijali tako da pružaju visoku preciznost, osiguravajući tačan i stabilan rad, kao i sposobnost prilagođavanja vremenskih intervala, omogućavajući veću fleksibilnost u dizajniranju kola koja zahtjevaju specifične vremenske sekvene. Mogu raditi u različitim režimima, uključujući monostabilne, astabilne i bistabilne [2].

Najpoznatiji i najšire primjenjivani tajmer je 555. Dizajniran kao primarno jednocikluso monostabilno kolo, realizovanom pomoću 2 komparatora, asinhrono okidanog RS leča, otporničkog djelitelja i nekih drugih komponenti [3].

Međutim, uprkos izuzetnoj upotrebljivosti, tajmer 555 ne omogućava generisanje širinsko-impulsno modulisanog (Pulse Width Modulated – PWM) signala sa nezavisnim podešavanjem frekvencije i širine impulsa (faktora ispune).

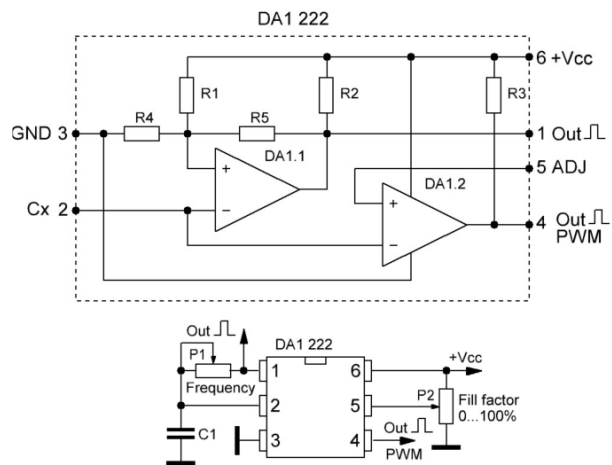
Postoje različiti elektronski sklopovi koji se mogu upotrijebiti kao alternativne zamjene za 555 [4], [5], međutim ovi sklopovi imaju određene nedostatke u odnosu na klasični 555. Nedostaci su što neki od njih nisu integrisane komponente, što može povećati složenost dizajna, kao i činjenica da imaju ograničeniji opseg napona napajanja, što može uticati na

fleksibilnost u primjenama. Iako neki sklopovi nude veću preciznost ili manju potrošnju, tajmer 555 ostaje najčešći izbor.

Posle pola vijeka od pojave IC 555, M.A. Shustov predlaže alternativu- čip (*chip*) 222 (Sl.1) [6].

Čip 222 se sastoji od 2 standardna komparatora sa izlazom tipa otvoreni kolektor/drejn, gdje je prvi komparator sa histerezom realizovanom pomoću mreže otpornika (DA1.1), dok je drugi komparator (DA1.2) bez histereze.

Predviđeno je da čip 222 ima 6 pinova: 2 za napajanje (V_{CC} i GND), 2 izlazna pina (OUT_{222} i OUT_PWM_{222}), pin za podešavanje faktora ispune (ADJ_{222}) i pin za podešavanje frekvencije oscilatorskog kola (C_x).



Slika 1. Unutrašnja struktura čipa 222 i jednostavni PWM generator sa nezavisnim podešavanjem frekvencije.[6]

Komparator DA1.1 služi za realizaciju astabilnog oscilatora (podešavanje frekvencije pomoću otpornika/potenciometra i kondenzatora, P_1 i C_1 na Sl. 1), dok komparator DA1.2 ima ulogu u realizaciji PWM (podešavanje širine impulsa potenciometrom P_2 , Sl. 1).

$$R_{pu} = P_1 + (R_2 || (R_5 + (R_1 || R_4)))$$

II. ANALIZA ORIGINALNOG SKLOPA

A. Komparator DA1.1

DA1.1 je komparator sa histerezom, čiji je izlaz ujedno i izlaz 222 (V_{OUT_222}). Slijedi proračun njegovih pragova okidanja, vrijednosti izlaznog napona i karakterističnih vremena.

1) Donji prag okidanja ($V_{Th.L}$):

$$\frac{0 - V_{Th.L}}{R_4} + \frac{V_{CC} - V_{Th.L}}{R_1} = \frac{V_{Th.L} - V_{out_222L}}{R_5}$$

$$V_{Th.L} = \frac{R_4 R_5}{R_1 R_5 + R_4 R_5 + R_1 R_4} \times V_{CC}$$

Za $R_1 = R_4 = R_5 = R$:

$$V_{Th.L} = \frac{1}{3} V_{CC} \quad (2.1)$$

2) Gornji prag okidanja ($V_{Th.H}$):

$$\frac{0 - V_{Th.H}}{R_4} + \frac{V_{CC} - V_{Th.H}}{R_1} = \frac{V_{Th.H} - V_{out_222H}}{R_5}$$

$$V_{Th.H} = \frac{R_4 R_5}{R_1 R_5 + R_4 R_5 + R_1 R_4} \times V_{CC} + \frac{R_1 R_4}{R_1 R_5 + R_4 R_5 + R_1 R_4} \times$$

Za $R_1 = R_4 = R_5 = R$:

$$V_{Th.H} = \frac{1}{3} V_{CC} + \frac{1}{3} V_{out_222H}$$

$$V_{Th.H} = \frac{1}{3} V_{CC} + \frac{1}{6} V_{Th.H} + \frac{1}{6} V_{CC}$$

$$V_{Th.H} = \frac{3}{5} V_{CC} \quad (2.2)$$

3) Izlazni napon u stanju „visoko“ (V_{out_222H}):

$$\frac{V_{Th.H} - V_{out_222H}}{R_5} = \frac{V_{out_222H} - V_{CC}}{R_2}$$

$$V_{out_222H} = \frac{R_2}{R_2 + R_5} V_{Th.H} + \frac{R_5}{R_2 + R_5} V_{CC}$$

Za $R_1 = R_2 = R_4 = R_5 = R$:

$$V_{out_222H} = \frac{1}{2} V_{Th.H} + \frac{1}{2} V_{CC}$$

$$V_{out_222H} = \frac{4}{5} V_{CC} \quad (2.3)$$

4) Punjenje kondenzatora C_1 :

Napon na kondenzatoru C_1 eksponencijalno raste od $V_{C1}(0) = \frac{1}{3} V_{CC}$ do $V_{C1}(\infty) = \frac{4}{5} V_{CC}$, i tada je izlazni tranzistor komparatora DA1.1 zakočen.

Ekvivalentna otpornost punjenja je:

Za $R_1 = R_2 = R_4 = R_5 = R = 10k\Omega$:

$$R_{pu} = P_1 + \frac{3}{5} R = P_1 + 6k\Omega$$

Gdje je P_1 otpornost potenciometra P_1 namijenjenog za podešavanje frekvencije.

Punjene kondenzatora C_1 opisuje jednačina:

$$V_{C1}(t) = \frac{4}{5} V_{CC} - \frac{7}{15} V_{CC} e^{-\frac{t}{\tau_{pu}}} \quad (2.4)$$

$$\tau_{pu} = R_{pu} C_1 \quad (2.5)$$

a) Vrijeme punjenja kondenzatora:

Vrijeme punjenja kondenzatora C_1 je vrijeme potrebno da napon kondenzatora kapacitivnosti C_1 poraste od početne vrijednosti $V_{C1}(0) = \frac{1}{3} V_{CC}$ do krajnje $V_{C1}(\infty) = \frac{4}{5} V_{CC}$.

$$\frac{3}{5} V_{CC} = \frac{4}{5} V_{CC} - \frac{7}{15} V_{CC} e^{-\frac{t_{pu}}{\tau_{pu}}} \\ t_{pu} = (P_1 + 6k\Omega) C_1 \times \ln \frac{7}{3}$$

5) Pražnjenje kondenzatora C_1 :

Kondenzator C_1 se prazni kada je na izlazu komparatora DA1.1 napon 0V, tj. $DA1.1 = V_{out_222} \approx 0V$. Napon kondenzatora kapacitivnosti C_1 eksponencijalno opada od početne vrijednosti prema naponu koji bi dostigao u beskonačnosti, gdje su $V_{C1}(0) = \frac{3}{5} V_{CC}$ i $V_{C1}(\infty) = 0$.

Otpornost pražnjenja R_{pr} je jednaka vrijednosti otpornosti na potenciometru P_1 , tj. $R_{pr} = P_1$, pa je vremenska konstanta pražnjenja kondenzatora C_1 jednaka:

$$\tau_{pra} = P_1 C_1, \quad (2.6)$$

i manja je od vremenske konstante punjenja.

Jednačina pražnjenja kondenzatora C_1 :

$$V_{C1}(t) = \frac{3}{5} V_{CC} e^{-\frac{t}{\tau_{pra}}} \quad (2.7)$$

a) Vrijeme pražnjenja kondenzatora:

Vrijeme pražnjenja kondenzatora C_1 je vrijeme potrebno da njegov napon opadne od $\frac{3}{5} V_{CC}$ do $\frac{1}{3} V_{CC}$.

$$\frac{1}{3} V_{CC} = \frac{3}{5} V_{CC} e^{-\frac{t_{pra}}{\tau_{pra}}}$$

$$t_{pra} = P_1 C_1 \times \ln \frac{9}{5}$$

6) Period generisanih oscilacija:

Period generisanih oscilacija čine vrijeme punjenja i praznjenja kondenzatora C_1 :

$$T = t_{pu} + t_{pra} \quad (2.8)$$

7) Izlaz komparatora DA1.1, V_{OUT_222} :

$$V_{OUT_222}(t) = P_1 C_1 \frac{dV_{C1}}{dt} + V^- = P_1 C_1 \frac{dV_{C1}}{dt} + V_{C1}$$

$$V_{OUT_222}(t) = \left(\frac{6k\Omega}{P_1 + 6k\Omega} \right) \frac{7}{15} V_{CC} \times e^{-\frac{t}{\tau_{pu}}} + \frac{4}{5} V_{CC}$$

8) Zaključak:

Uočava se da pragovi prorade komparatora DA1.1 nisu simetrični u odnosu na napon napajanja. Izlazni napon V_{OUT_222H} značajno je manji od napona napajanja V_{CC} , čak i u idealnom slučaju kada otpornost opterećenja $R \rightarrow \infty$. To je velika mana predloženog rješenja koje koristi komparator sa izlazom tipa otvoreni kolektor/drejn. Osim toga, kvalitet izlaznog napona V_{OUT_222H} je potpuno narušen zato što ima eksponencijalni karakter, te je kolo praktično neupotrebljivo.

B. Komparator DA1.2

DA1.2 je invertujući komparator bez histereze, čiji je izlaz ujedno i izlaz čipa 222, $V_{OUT_PWM_222}$. Na – ulaz (in^-) DA1.2 se dovodi napon vanjskog kondenzatora C_1 , koji eksponencijalno raste/opada između $\frac{1}{3}V_{CC}$ do $\frac{3}{5}V_{CC}$, donji i gornji prag prorade DA1.1, respektivno.

Na + ulaz (in^+) DA1.2, koji odgovara ulazu ADJ_{222} , je doveden vanjski (referentni) napon, formiran pomoću napona napajanja V_{CC} i potenciometra P_2 (Sl. 1).

Kada je napon na in^+ DA1.2 veći od napona na in^- izlazni tranzistor DA1.2 je zakočen, pa je izlaz DA1.2 = $V_{OUT_PWM_222}$ visok. U suprotnom, izlazni tranzistor DA1.2 je uključen, pa je izlaz DA1.2 = $V_{OUT_PWM_222}$ nizak, tj. DA1.2 = $V_{OUT_PWM_222} \approx 0V$.

DA1.2 može biti konfigurisan i kao neinvertujući komparator. Tada je referentni napon, priključak ADJ_{222} , doveden na in^- ulaz DA1.2, a napon V_{C1} na in^+ ulaz komparatora.

Primjećuje se da je izlaz DA1.2 zaista PWM, sa nezavisnim podešavanjem faktora ispune, ali nije sinhronizovan sa izlazom V_{OUT_222} .

Umjesto potenciometra P_2 (Sl. 1), može se koristiti otpornički djelitelj sastavljen od 2 otpornika i P_2 , konfiguriran tako da je P_2 između otpornika R_1 i R_2 , a klizač P_2 je doveden na ulaz ADJ_{222} (Sl. 2). Otpornosti se biraju tako da napon na ulazu ADJ_{222} odgovara minimalnom naponu na kondenzatoru kapacitivnosti C_1 (napon donjeg praga DA1.1) kada je klizač P_2 na poziciji koja odgovara minimalnoj otpornosti od 0Ω , odnosno maksimalnom naponu na kondenzatoru kapacitivnosti C_1

(napon gornjeg praga DA1.1) kada je klizač na poziciji koja odgovara maksimalnoj otpornosti.

$$P_2 = 0\Omega \Rightarrow ADJ_{222} = \frac{1}{3}V_{CC} = \frac{R_2}{R_1 + R_2 + P_2} V_{CC} \quad (2.9)$$

$$P_2 = \text{max} \Rightarrow ADJ_{222} = \frac{3}{5}V_{CC} = \frac{R_2}{R_1 + R_2 + P_2} V_{CC} \quad (2.10)$$

Rješavajući sistem od 2 jednačine sa 3 nepoznate (R_1 , R_2 i P_2):

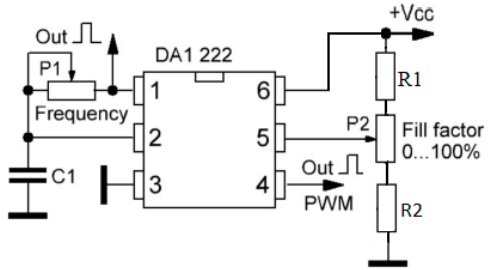
$$\frac{1}{3} = \frac{R_2}{R_1 + R_2 + P_2} \quad (2.11)$$

$$\frac{3}{5} = \frac{R_2}{R_1 + R_2 + P_2} \quad (2.12)$$

Dobija se:

$$\frac{R_1}{R_2} = \frac{6}{5} \quad (2.13)$$

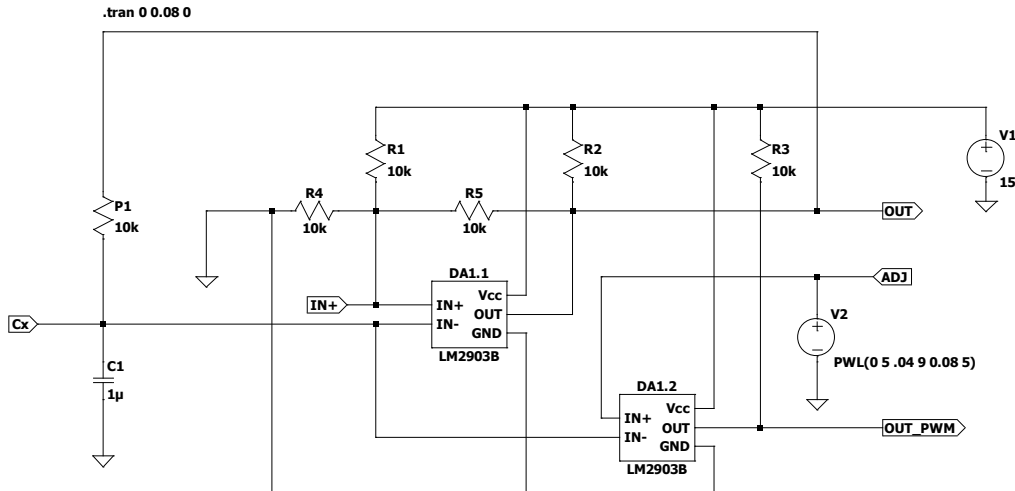
$$P_2 = \frac{2}{3}R_1 \quad (2.14)$$



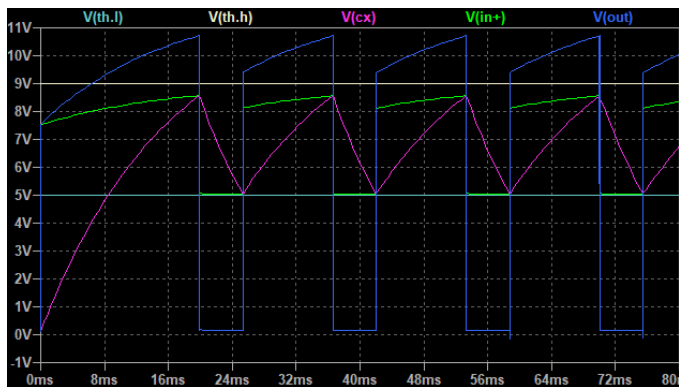
Slika 2. Čip 222 kao generator impulsa konstantne frekvencije i PWM

C. Simulacija rada čipa 222

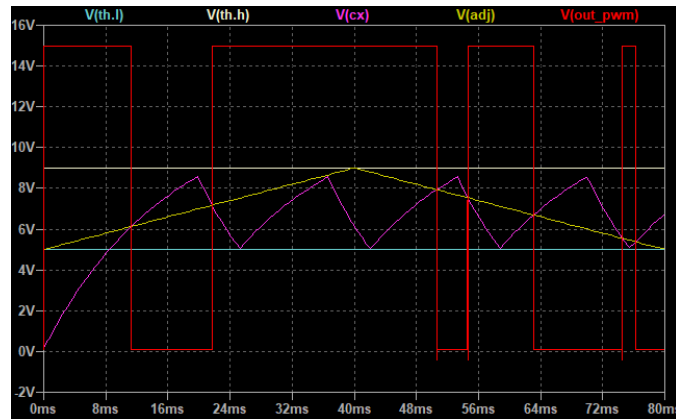
Na Sl. 3 je prikazana šema 222 čipa kada generiše impulse konstantne frekvencije (V_{OUT_222}) i PWM ($V_{OUT_PWM_222}$), a na Sl. 4 i Sl. 5 su prikazani talasni oblici ulaznih i izlaznih signala komparatora DA1.1 i DA1.2 dobijeni simulacijom u programskom paketu LTSpice [7].



Slika 3. Simulaciona šema čipa 222



Slika 4. Talasni oblici karakterističnih signala na komparatoru DA1.1 ($V_{Th,L}$, $V_{Th,H}$, V_{Cl} , V_{in+} , V_{OUT_222})



Slika 5. Talasni oblici karakterističnih signala na komparatoru DA1.2 ($V_{Th,L}$, $V_{Th,H}$, V_{Cl} , V_{ADJ_222} , $V_{OUT_PWM_222}$)

D. Zaključci

Kolo 222 realizovano pomoću komparatora sa izlazom tipa otvoren kolektor/drejn nije upotrebljivo zbog izlaza (V_{OUT_222} i $V_{OUT_PWM_222}$) koji su nezadovoljavajućeg kvaliteta.

Neophodno je poboljšati predloženo rješenje, koristeći druge vrste komparatora, i obezbjediti da izlazi (V_{OUT_222} i $V_{OUT_PWM_222}$) u stanju nisko budu što približnji nuli, a u stanju

visoko da budu što bliži naponu napajanja, što do sada nije bio slučaj, kao i da napon na izlazu OUT_{222} nema eksponencijalni karakter.

III. PRIJEDLOG MODIFIKOVANOG KOLA : ČIP 222-M

Neki od načina objezbjeđivanja kvalitetnih, digitalnih izlaza (V_{OUT_222} i $V_{OUT_PWM_222}$) su:

1. Koristiti komparatore sa digitalnim izlazom (push-pull).
2. Na izlaze postojećih komparatora vezati ulaze bafera (eng. *buffer*) sa digitalnim izlazom, a njihove izlaze koristiti kao OUT_{222} i OUT_PWM_{222} . Baferi mogu biti realizovani kao serijska veza 2 invertora, čime se mogu dobiti komplementarni izlazi.
3. Umjesto komparatora DA1.1 koristiti digitalno kolo sa ulazom tipa Šmitov triger.

U nastavku su date konkretnе realizacije predloženih modifikacija, koje obavljaju istu funkciju kao dati primjer sa standardnim 222.

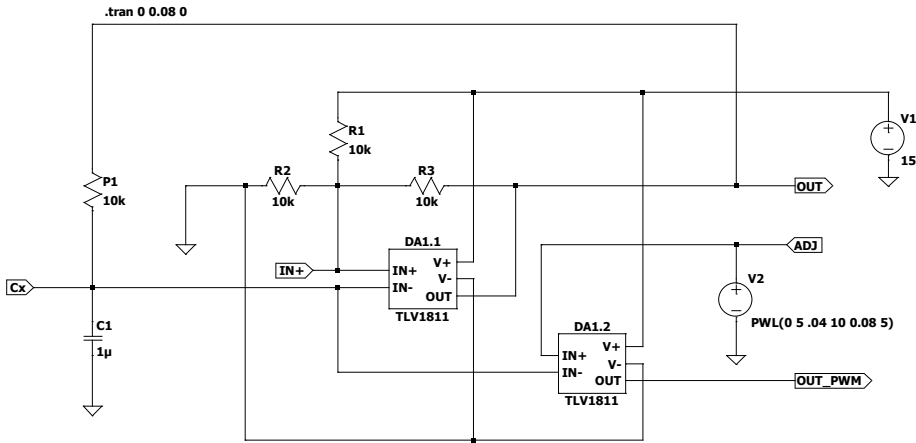
A. 222-M sa komparatorima sa push-pull izlazom

Umjesto komparatora LM339 [6], za realizaciju 222-M, upotrijebljeni su komparatori sa push-pull izlazom. Prvo je analiziran 222-M sa komparatorom TLV181x, sa većim rasponom napajanja.

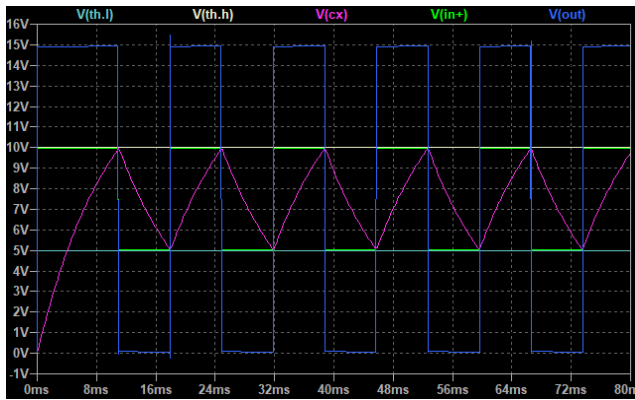
1) Simulacija čipa 222-M-TLV181x:

Na Sl. 6 je prikazana simulaciona šema čipa 222-M-TLV181x, dok su na Sl. 7 i Sl. 8 prikazani talasni oblici karakterističnih signala.

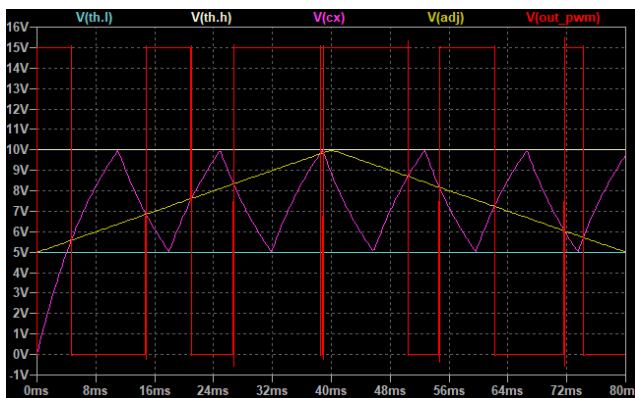
Na simulaciji se uočava da je izlaz 222-M-TLV181x mnogo kvalitetniji, i da su vremena punjenja i pražnjenja kondenzatora C_1 jednaka. Donji i gornji prag okidanja komparatora DA1.1 su



Slika 6. Simulaciona šema čipa 222-M-TLV181x



Slika 7. Karakteristični talasni oblici na komparatoru DA1.1 ($V_{Th,L}$, $V_{Th,H}$, V_{Cl} , $in+$, V_{OUT_222})



Slika 8. Karakteristični talasni oblici na komparatoru DA1.2 ($V_{Th,H}$, V_{Cl} , V_{adj_222} , $V_{OUT_PWM_222}$)

simetrični u odnosu na napon napajanja V_{CC} , i iznose $\frac{1}{3}V_{CC}$ i $\frac{2}{3}V_{CC}$. Izlazi V_{OUT_222} i $V_{OUT_PWM_222}$ su kvalitetniji, nisu eksponencijalni i imaju vrijednosti približno V_{CC} (u stanju visoko) i približno 0 (u stanju nisko), a upotrijebljen je manji broj otpornika u kolu.

2) Primjer čipa 222-M-TLV360x:

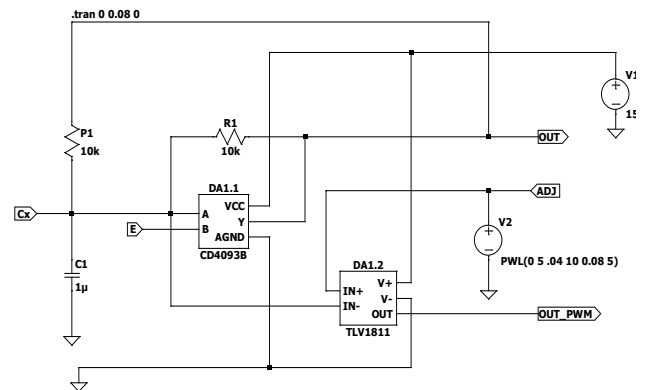
Realizacija sa ovim komparatorom ima manji opseg napona napajanja, što se može vidjeti u tabeli 1, gdje su prikazane osnovne karakteristike upotrijebljenih komparatora.

TABELA I. KARAKTERISTIKE UPOTRIJEBLJENIH KOMPARATORA

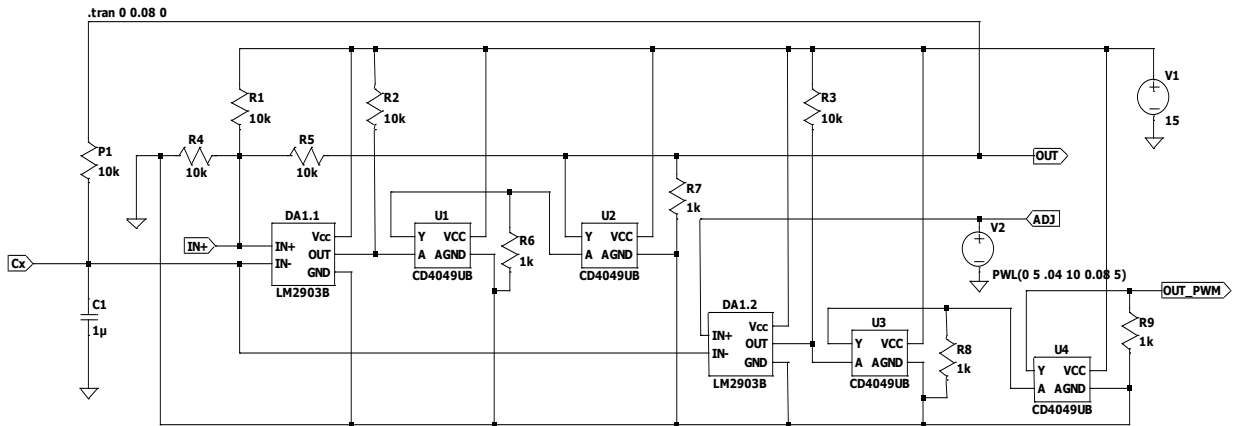
| Rb. | Komparator | Tip izlaza | Broj kanala | $V_s(max)$ (V) | $V_s(min)$ (V) |
|-----|----------------|----------------------------|-------------|----------------|----------------|
| 1. | LM393, LM2903B | Open-collector, Open-drain | 2 | 36 | 2 |
| 2. | TLV181x | Push-Pull | 2 | 40 | 2.4 |
| 3. | TLV360x | Push-Pull | 2 | 5.5 | 2.4 |

B. Upotreba kola tipa Šmitovog trignera, čip 222-M-CD4093

Upotrebom IC sa karakteristikom Šmitovog trignera na mjestu komparatora DA1.1, čip 222-M se dodatno pojednostavljuje, eliminirajući otpornike potrebne za realizaciju histereze. Napon V_{OUT_222} je kvalitetan, digitalni izlaz. Moguće je koristiti CD40106 (6 invertora) ili CD4093 (4 2-ulazna NI kola). U oba slučaja je moguće dobiti i komplementarne izlaze, dok se slobodni ulaz CD4093 može iskoristiti kao dodatni ulaz u 222-M-CD4093 koji služi za omogućavanje/onemogućavanje rada oscilatora. Šema 222-M-CD4093 je prikazana na Sl. 9.



Slika 9. Šema čipa 222-M-CD4093



Slika 10. Šema čipa 222-M-CD4049 sa dodatnim invertorima

C. Upotreba komparatora sa otvorenim kolektorom/drejnom i invertora-bafera

Serijskom vezom 2 invertora, npr. CD4049 dobijaju se baferi koji, spojeni u seriju sa komparatorima sa otvorenim kolektorom/drejnom čine modifikaciju 222-M-CD4049, koja osim popravljanja kvaliteta izlaznih napona obezbeđuje i njihove komplementarne vrijednosti. Na Sl. 10 je prikazana šema 222-M-CD4049.

IV. ZAKLJUČAK

Ideja za realizaciju čipa 222 je prevazilaženje ograničenja tajmera 555 da istovremeno generiše impuse konstantne frekvencije i PWM.

Čip 222 je prikazan u brojnim praktičnim primjenama [6], ali ima ozbiljne nedostatke koji su posljedica upotrebe komparatora sa izlazom tipa otvoreni kolektor/drejn. Osnovni nedostaci su nesimetrični pragovi okidanja, nemogućnost sklopa da na izlazu obezbijedi pun opseg vrijednosti napona napajanja, kao i eksponencijalni karakter izlaza OUT_{222} .

U ovom radu su ponuđene različite varijante rješenja uočenih problema, prvenstveno koristeći komparatore sa digitalnim, push-pull, izlazom, kao i dodavanje digitalnih bafera-invertora na već postojeće izlaze ili upotreba Šmitovih trigera. Pomoću simulacija u programskom paketu LTSpice se uviđa da su glavni problemi originalnog sklopa prevaziđeni u verzijama čipa 222-M.

U daljem radu, planirana je praktična realizacija i ispitivanje predloženih varijanti čipa 222-M u konkretnim primjenama.

ZAHVALNICA

Autor se zahvaljuje mentoru prof. dr Milomiru Šoji na izdvojenom vremenu, sugestijama i pomoći prilikom izrade rada. Rad je nastao u okviru predmeta Projekat 1 na ETF Istočno Sarajevo.

LITERATURA

- [1] M. C. Sharma, "555 Timer and Its Applications". Delhi, India: Business Promotion Bureau, 1977.
- [2] G. Sampaio, D. de Souza da Silva, W. Cantarino and E. Teixeira, "Fifty Years of the 555 Timer – A Tribute from a Didactic IC Design Perspective," u *Proceedings of the 2023 SBMicro Symposium*, Juiz de Fora, Brazil, 2023, str. 45–50.
- [3] N. Nandanavanam, "An Imprint of IC 555 Timer in the Contemporary World," International Journal of Engineering and Advanced Technology (IJEAT), vol. 4, no. 6, pp. 1, Aug. 2015. [Online]. Available: www.ijeat.org.
- [4] B. D. Moore, "Analog Latch, One-Shot Circuits Operate with Close to Zero Power," Alert Solutions Co., [Online]. Available: <https://www.techonline.com/tech-papers/analog-latch-one-shot-circuits-operate-with-close-to-zero-power/>
- [5] N. Scandy and K. Jones, "Considering TI Smart DACs As an Alternative to 555 Timers," Texas Instruments, [Online]. Available: <https://www.ti.com/lit/pdf/slaae33>.
- [6] M. A. Shustov, "Chip 222 - alternative 555. PWM generator with independent frequency control," International Journal of Circuits and Electronics, vol. 6, pp. 23-31, 2021.
- [7] Analog Devices Inc., "LTspice: High performance SPICE simulator." [Online]. Available: <https://www.analog.com/ltpice>

ABSTRACT

The 555 timer served as the inspiration for the chip 222, which offers certain advantages in specific applications, such as simultaneously generating constant frequency pulses and PWM. Detailed analysis of the 222 chip's functioning showed certain significant flaws that could disqualify it from most practical applications. Specific modifications (222-M) have been proposed that eliminate the observed shortcomings, which is proven by the presented results of simulations done in LTSpice software package.

PERFORMANCE ANALYSIS AND APPLICATIONS OF THE CHIP 222 AND ITS 222-M MODIFICATIONS

Svetlana Parlić